

ДОПОЛНИТЕЛЬНЫЕ КОНУСЫ ИЗЛУЧЕНИЯ АНТИСТОКСОВЫХ КОМПОНЕНТ ВКР В КАЛЬЦИТЕ

Б.М.Атаев, В.Н.Луговой

Экспериментальное исследование углового распределения антистоксовых компонент вынужденного комбинационного рассеяния в жидкостях и кристаллах проведено в ряде работ (см. [1,2]). В этих работах было установлено, что все антистоксовые компоненты излучаются в основном в конусы, оси которых совпадают с осью падающего на вещество рассеиваемого луча (накачки). При этом на фотопленке, расположенной за образцом перпендикулярно лучу накачки, получаются концентрические окружности различных антистоксовых компонент рассеяния. В то же время в работе [3] была теоретически предсказана возможность дополнительного излучения антистоксовых компонент в кристаллах, которое должно распространяться под другим (вообще переменным) углом с направлением луча накачки. В этой же работе были получены уравнения, определяющие направление его распространения. В настоящей работе эти уравнения решены для случая одноосных кристаллов и дополнительное излучение антистоксовых компонент обнаружено экспериментально в одноосном кристалле CaCO_3 . Проведенное ниже сравнение показывает хорошее совпадение полученных экспериментальных данных с результатами теории.

В том случае, когда накачка и первая стоксова компонента (в волновой зоне) представляют обычновенную волну, угол θ_m^{12} дополнительнол-

Вклейка к ст. Б. М. Атаева и др. (стр. 52)

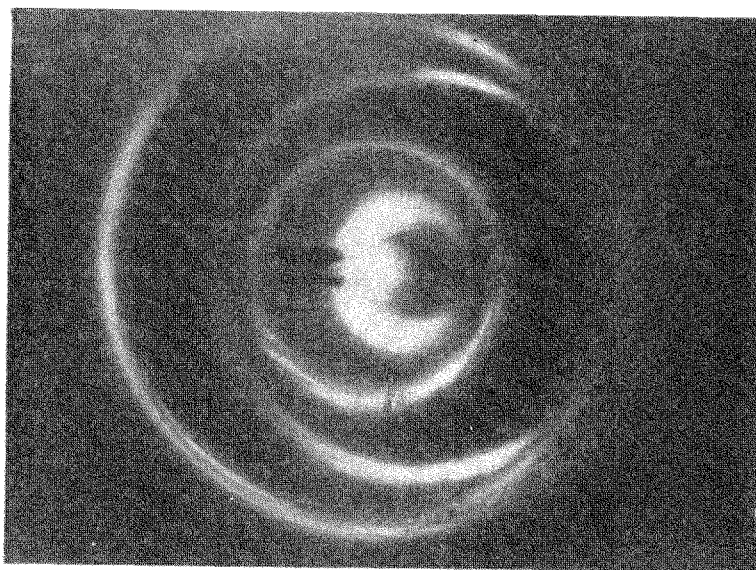


Рис. 1. Картина антистоксовых компонент ВКР в кальците, наблюдаемая при $\nu = 4,02 \cdot 10^{-2}$. Видны концентрические с лазерным пятном основные окружности первой и второй антистоксовых компонент, а также смещенные вправо дополнительные окружности тех же компонент

Вклейка к ст. Б. М. Агаева и др. (стр. 52)

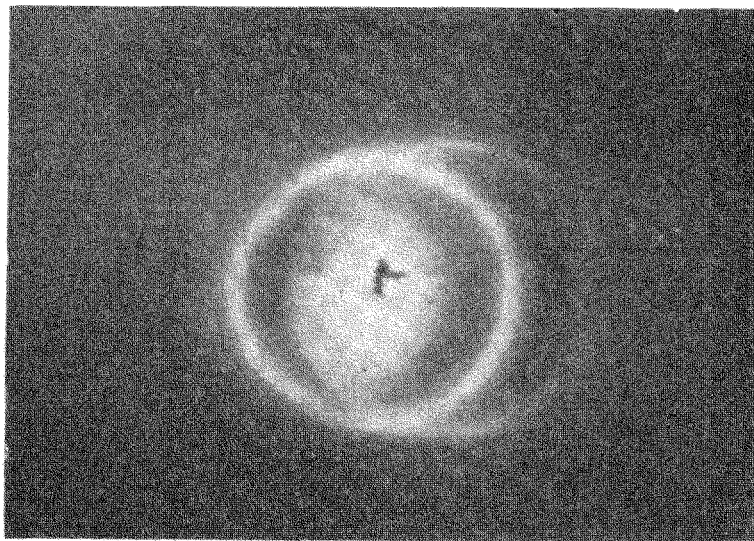


Рис. 2. Картина антистоксовых компонент ВКР в кальците, наблюдаемая при $\nu = 6,63 \cdot 10^{-2}$. Видна концентрическая с лазерным пятном основная окружность первой антистоксовой компоненты и смешенная вправо дополнительная окружность второй антистоксовой компоненты

Вклейка к ст. Б. М. Агаева и др. (стр. 52)

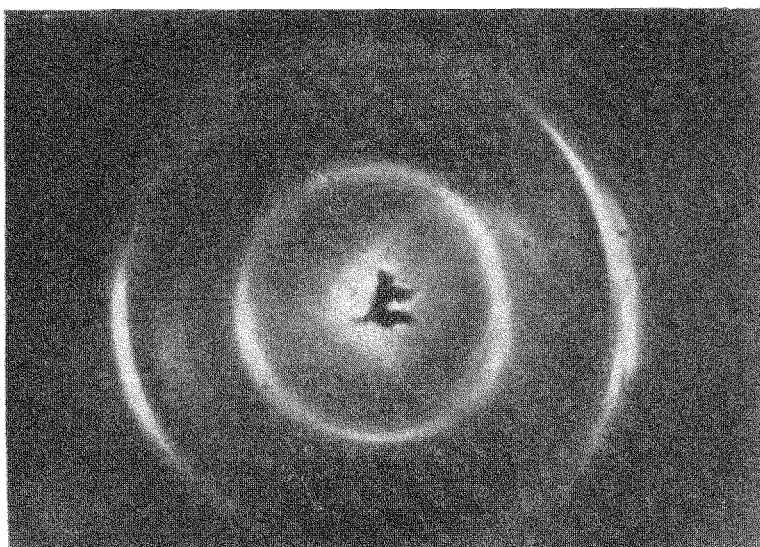


Рис. 3. Картина антистоксовых компонент ВКР в кальциите, наблюдаемая при $\nu = 7,68 \cdot 10^{-2}$. Видны концентрические с лазерным пятном основные окружности первой и второй антистоксовых компонент, а также смещенная вправо дополнительная окружность второй антистоксовой компоненты.

го излучения антистоксовой компоненты порядка m определяется следующими соотношениями [3]:

$$2 \sin \frac{\theta_m^{12}}{2} = \left\{ \frac{[k_{m2}(\theta_m^{12}) + m k_{-11} - (m+1) k_{01}] [m k_{-11} + (m+1) k_{01} - k_{m2}(\theta_m^{12})]}{(m+1) k_{01} k_{m2}(\theta_m^{12})} \right\}^{1/2}$$

$$k_{ea}(\theta) = \frac{\omega_e}{c} n_a(\omega_e, \Theta), \quad \Re^2 = \nu^2 + \theta^2 + 2\nu\theta \cos \phi, \quad n_1(\omega, \Theta) = \sqrt{\epsilon^{(y)}(\omega)}$$

$$n_2(\omega, \Theta) = \left\{ \frac{\sin^2 \Theta}{\epsilon^{(x)}(\omega)} + \frac{\cos^2 \Theta}{\epsilon^{(z)}(\omega)} \right\}^{-1/2}, \quad (1)$$

где для одноосных кристаллов: $\sqrt{\epsilon^{(y)}} = \sqrt{\epsilon^{(z)}} = n_1$ – показатель преломления обыкновенной волны; $\sqrt{\epsilon^{(x)}} = n_{\parallel}$; ν – угол между оптической осью кристалла (ось x) и волновым вектором накачки; $(\pi - \phi)$ – угол 1) между плоскостью, проходящей через точку рассеяния, волновой вектор накачки и оптическую ось и 2) между плоскостью, проходящей через тот же вектор и волновой вектор дополнительного излучения. При малых значениях углов θ_m^{12} и ν решение уравнений (1) дается формулой:

$$\theta_m^{12} = \frac{1}{1 + p_m^2} \{-p_m^2 \nu \cos \phi + \sqrt{p_m^4 \nu^2 \cos^2 \phi + (1 + p_m^2) [(\theta_m^{11})^2 - p_m^2 \nu^2]}\}, \quad (2)$$

где

$$\theta_m^{11} = \sqrt{\frac{2 m k_{-11} [k_{m1} + m k_{-11} - (m+1) k_{01}]}{(m+1) k_{01} k_{m1}}}, \quad (3)$$

$$p_m = \sqrt{\frac{m k_{-11}}{(m+1) k_{01}} \frac{n_{\perp}^2(\omega_m) - n_{\parallel}^2(\omega_m)}{m^2 n_{\parallel}^2(\omega_m)}}. \quad (4)$$

Величина θ_m^{11} есть угол основного излучения антистоксовой компоненты порядка m , не зависящий от ν (см. [3–5]). Нетрудно убедиться, что равенство (2) есть заданная в полярных координатах θ_m^{12} , ϕ – окружность с центром, лежащим между волновым вектором накачки и оптической осью (в проходящей через них плоскости) и отстоящим от направления волнового вектора накачки на величину

$$d_m^{12} = \frac{P_m^2 \nu}{1 + P_m^2}. \quad (5)$$

Радиус R_m^{12} этой окружности равен

$$R_m^{12} = \frac{1}{1 + p_m^2} \sqrt{(1 + p_m^2)(\theta_m^{11})^2 - p_m^2 \nu^2}. \quad (6)$$

Согласно формулам (5) и (6) для окружностей дополнительного излучения получается существенно иная картина по сравнению с окружностями основного излучения. В частности, из формулы (6) следует, что для каждой антостоксовой компоненты дополнительная окружность будет наблюдаться лишь в интервале углов $\nu < \nu_m^{12}$, где

$$\nu_m^{12} = \theta_m^{11} \frac{\sqrt{1 + p_m^2}}{p_m}. \quad (7)$$

Для численного расчета углов θ_m^{11} и коэффициентов p_m мы использовали данные по показателям преломления кальцита из работы [6] и данные по длинам волн компонент рассеянного излучения из работ [1,7]. По формулам (3), (4), (7) были получены следующие значения:

$$\begin{aligned} \theta_1^{11} &= 1,54 \cdot 10^{-2} \text{ (0)}; p_1 = 0,334(4); \nu_1^{12} = 4,87 \cdot 10^{-2} \text{ (2°47')} \\ \theta_2^{11} &= 3,90 \cdot 10^{-2} \text{ (8)}; p_2 = 0,387(6); \nu_2^{12} = 8,32 \cdot 10^{-2} \text{ (4°46')}. \end{aligned}$$

Таблица

$\nu \times 10^2 \text{ rad}$	Теория		Эксперимент	
	R_1 / θ_1^{11}	R_2 / θ_1^{11}	R_1 / θ_1^{11}	R_2 / θ_1^{11}
2,40	0,82	1,74	0,80	1,75
3,46	0,67	1,66	0,68	1,65
4,02	0,53	1,59	0,50	1,58
4,51	0,35	1,53	0,35	1,50
5,04	—	1,45	—	1,44
5,83	—	1,30	—	1,31
6,63	—	1,10	—	1,10
7,68	—	0,79	—	0,71

В проведенных нами экспериментах накачкой являлся линейно поляризованный луч рубинового лазера, проходивший через кальцит обычной волной. Рассеянное излучение проходило через фильтр, ослаблявший стоксовые компоненты и прошедший через образец луч накачки, после чего попадало на фотопленку, расположенную перпендикулярно лазерному лучу. Мы наблюдали дополнительные окружности антостоксовых компонент, смещенные относительно основных в сторону оптической оси кристалла. Типичные экспериментальные картины рассеяния приведены на рис.1–3 (см. вклейку). В большинстве случаев наиболее

четко были видны первая антистоксова—основная и первая и вторая антистоксова дополнительные компоненты рассеяния. Соответственно в таблице приведены экспериментальные и теоретические значения отношений диаметров R_1^{12}/θ_1^{11} и R_2^{12}/θ_1^{11} при различных значениях χ . Эта таблица показывает хорошее совпадение экспериментальных и расчетных величин. При этом следует заметить, что приведенные выше расчеты основаны на теории ВКР, развитой в работах [3–5]. Можно, также убедиться, что в отношении дополнительного излучения второй антистоксовой компоненты модель ВКР, принятая в работах [8, 9 и др.], не объясняет (даже качественно) приведенных на рисунках 1–3 фотографий.

В заключение авторы выражают глубокую благодарность А.М.Прокорову за полезные советы в процессе работы и обсуждение результатов. Авторы благодарны также Ф.В.Бункину за внимание, обсуждения и стимулирование работы, В.Б.Федорову и Б.В.Ершову за помощь в подготовке эксперимента.

Физический институт
им. П.Н.Лебедева
Академии наук СССР

Поступило в редакцию
3 октября 1967 г.

Литература

- [1] R.Chiao, B.P.Stoicheff. Phys. Rev. Lett., 12, 290, 1964.
- [2] E.Garmire. Phys. Lett., 17, 251, 1965.
- [3] В.Н.Луговой. ЖЭТФ, 51, 931, 1966.
- [4] В.Н.Луговой. Опт. и спектр., 21, 293, 1966; Препринт ФИАН, А-60, 1965.
- [5] В.Н.Луговой. Опт. и спектр., 21, 432, 1966; Препринт ФИАН, А-95, 1965.
- [6] J.W.Gifford. Proc. Roy. Soc., 70, 329, 1902.
- [7] G.Eckhart, D.P.Bortfeld, M.Geller. Appl. Phys. Lett., 3, 137, 1963.
- [8] E.Garmire, F.Pandarese, C.H.Townes. Phys. Rev. Lett., 11, 160, 1963.
- [9] Н.Бломберген. Нелинейная оптика. Изд-во "Мир", М., 1966.